

Semiotische Situation von Treppen

1. Wir gehen aus von der allgemeinen Form semiotischer Dualsysteme

$$DS: ZKI = (3.x, 2.y, 1.z) \times RTh = (z.1, y.2, x.3)$$

und bilden sie auf ihre situationale Trajektklasse ab (vgl. Toth 2025a):

$$\begin{array}{llllll} 3_A.x_A & \underline{2}_R.y_R & 1_I.z_I & \rightarrow & 3_A.\underline{2}_R & x_A.\underline{y}_R \\ z_A.1_A & y_R.\underline{2}_R & x_I.3_I & \rightarrow & z_A.y_R & 1_A.\underline{2}_R \end{array} \quad | \quad \begin{array}{ll} \underline{2}_R.1_I & y_R.z_I \\ y_R.x_I & \underline{2}_R.3_I \end{array}$$

Wir haben also folgendes Trajekt-Dualsystem:

$$DST: ZKI^T = (3_A.\underline{2}_R, x_A.\underline{y}_R | \underline{2}_R.1_I, y_R.z_I) \times RTh^T = (z_A.y_R, 1_A.\underline{2}_R | y_R.x_I, \underline{2}_R.3_I)$$

mit

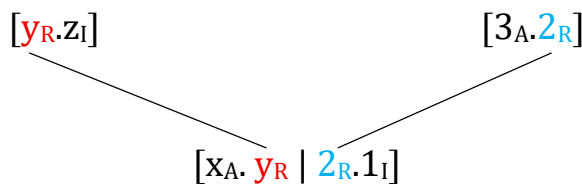
$$\text{System} = (x_A.\underline{y}_R | \underline{2}_R.1_I)$$

$$U^{lo} = (3_A.\underline{2}_R)$$

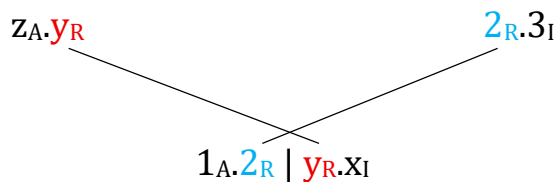
$$U^{ro} = (y_R.z_I).$$

Wie man leicht erkennt, sind die Schnittmengen zwischen dem System und seiner links- und rechtsseitigen Umgebung nicht-leer. Bei den Abbildungen zwischen Systemen und Umgebungen finden also Prozeße statt, die wir mit semiotischer Osmose bezeichnet hatten (vgl. Toth 2025a, b).

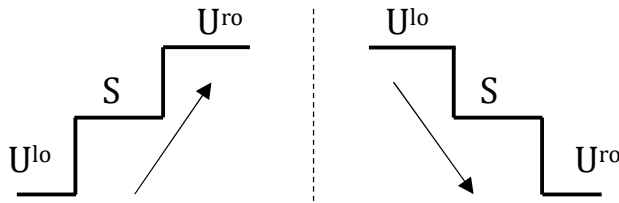
Zeichenklasse:



Realitätsthematik:



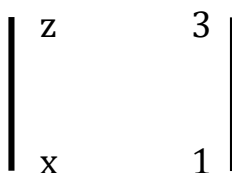
2. Die mittels bifunktorieller Verschränkungen zustande kommende semiotische Osmose zwischen Systemen und ihren 2-seitigen Umgebungen findet also innerhalb eines osmotischen Rahmens (vgl. Toth 2025b) statt. Treppen eignen sich nun sehr gut, um Osmosen zwischen einem Objekt, seinem Vorgänger- und seinem Nachfolgerobjekt darzustellen.



Untere Umgebungen werden hier also als linksseitige und obere als rechtsseitige interpretiert. Da jede Zeichenklasse und jede Realitätsthematik $3! = 6$ Permutationen besitzt, hat jede der 10 bzw. 27 ternären Zeichenklassen und Realitätsthematiken genau 6 osmotische Rahmen.

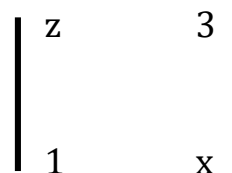
Zeichenklassen

$3_A.2_R \quad x_A.y_R \quad | \quad 2_R.1_I \quad y_R.z_I$

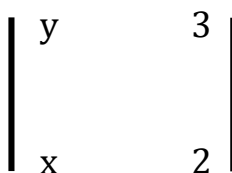


Realitätsthematiken

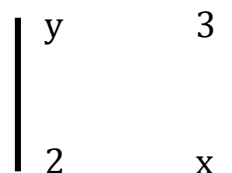
$z_A.y_R \quad 1_A.2_R \quad | \quad y_R.x_I \quad 2_R.3_I$



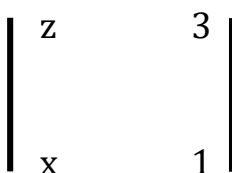
$3_A.1_R \quad x_A.z_R \quad | \quad 1_R.2_I \quad z_R.y_I$



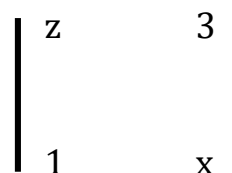
$y_A.z_R \quad 2_A.1_R \quad | \quad z_R.x_I \quad 1_R.3_I$



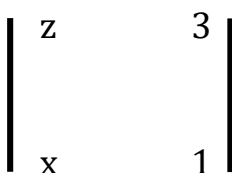
$2_A.3_R \quad y_A.x_R \quad | \quad 3_R.1_I \quad x_R.z_I$



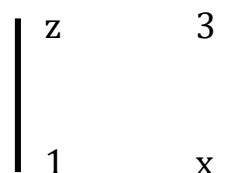
$z_A.x_R \quad 1_A.3_R \quad | \quad x_R.y_I \quad 3_R.2_I$



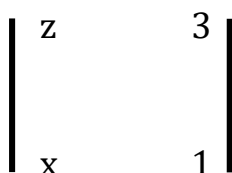
$2_A.1_R \quad y_A.z_R \quad | \quad 1_R.3_I \quad z_R.x_I$



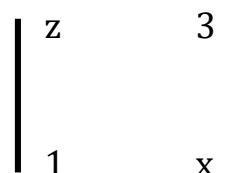
$x_A.z_R \quad 3_A.1_R \quad | \quad z_R.y_I \quad 1_R.2_I$

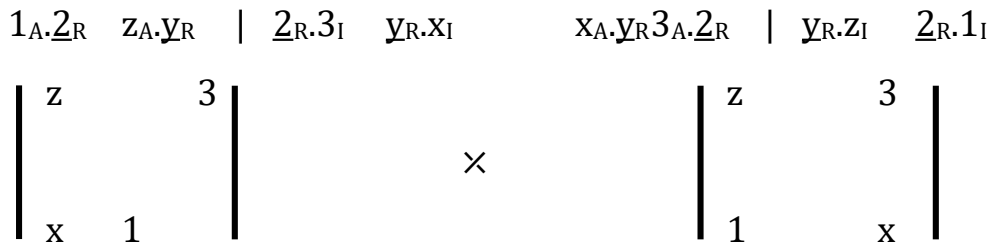


$1_A.3_R \quad z_A.x_R \quad | \quad 3_R.2_I \quad x_R.y_I$



$y_A.x_R \quad 2_A.3_R \quad | \quad x_R.z_I \quad 3_R.1_I$





Da in der Ontik Niveauunterschiede durch die sog. Ordinationsrelation

$O = (\text{sub}, \text{koo}, \text{sup})$,

d.h. durch die relativen Stufen der Subordination, Koordination und Supersition (vgl. Toth 2015), behandelt werden, können wir vermöge der obigen Skizze folgende ontisch-situationssemiotischen Zuordnungen machen

$\text{koo} = \text{sit}$

$\text{sub} = U^{\text{lo}}/U^{\text{ro}}$

$\text{sup} = U^{\text{ro}}/U^{\text{lo}}$

und bekommen damit

Zeichenklassen

| Op | Koo | Sub | Sup |
|-------------------------------------|---|-------------------------|-------------------------|
| $(\underline{2}_R.\underline{y}_R)$ | $[x_A.\underline{y}_R \underline{2}_R.1_I]$ | $[3_A.\underline{2}_R]$ | $[\underline{y}_R.z_I]$ |
| $(\underline{1}_R.\underline{z}_R)$ | $[x_A.\underline{z}_R \underline{1}_R.2_I]$ | $[3_A.\underline{1}_R]$ | $[\underline{z}_R.y_I]$ |
| $(\underline{3}_R.\underline{x}_R)$ | $[y_A.\underline{x}_R \underline{3}_R.1_I]$ | $[2_A.\underline{3}_R]$ | $[\underline{x}_R.z_I]$ |
| $(\underline{1}_R.\underline{z}_R)$ | $[y_A.\underline{z}_R \underline{1}_R.3_I]$ | $[2_A.\underline{1}_R]$ | $[\underline{z}_R.x_I]$ |
| $(\underline{3}_R.\underline{x}_R)$ | $[z_A.\underline{x}_R \underline{3}_R.2_I]$ | $[1_A.\underline{3}_R]$ | $[\underline{x}_R.y_I]$ |
| $(\underline{2}_R.\underline{y}_R)$ | $[z_A.\underline{y}_R \underline{2}_R.3_I]$ | $[1_A.\underline{2}_R]$ | $[\underline{y}_R.x_I]$ |

Realitätsthematiken

| Op | Sit | U^{lo} | U^{ro} |
|-------------------------------------|---|-------------------------|-------------------------|
| $(\underline{y}_R.\underline{2}_R)$ | $[1_A.\underline{2}_R \underline{y}_R.x_I]$ | $[z_A.\underline{y}_R]$ | $[\underline{2}_R.3_I]$ |
| $(\underline{z}_R.\underline{1}_R)$ | $[2_A.\underline{1}_R \underline{z}_R.x_I]$ | $[y_A.\underline{z}_R]$ | $[\underline{1}_R.3_I]$ |
| $(\underline{x}_R.\underline{3}_R)$ | $[1_A.\underline{3}_R \underline{x}_R.y_I]$ | $[z_A.\underline{x}_R]$ | $[\underline{3}_R.2_I]$ |
| $(\underline{z}_R.\underline{1}_R)$ | $[3_A.\underline{1}_R \underline{z}_R.y_I]$ | $[x_A.\underline{z}_R]$ | $[\underline{1}_R.2_I]$ |
| $(\underline{x}_R.\underline{3}_R)$ | $[2_A.\underline{3}_R \underline{x}_R.z_I]$ | $[y_A.\underline{x}_R]$ | $[\underline{3}_R.1_I]$ |

($\underline{y}_R.2_R$) $[3_A.2_R \mid \underline{y}_R.z_I]$ $[x_A.y_R]$ $[2_R.1_I]$

Literatur

Toth, Alfred, Ordinationsrelation symbolischer Repertoires. In: Electronic Journal for Mathematical Semiotics, 2015

Toth, Alfred, Zeichensituation-Umgebungs-Osmose. In: Electronic Journal for Mathematical Semiotics, 2025a

Toth, Alfred, Osmose von Systemen und Umgebungen. In: Electronic Journal for Mathematical Semiotics, 2025b

2.1.2026